

# ПЕРЕНОС ЭНЕРГИИ ЭКСИТОНОВ КВАНТОВОЙ НИТИ В ОРГАНИЧЕСКУЮ СРЕДУ

Кучеренко М.Г., Строкова Ю.А.

Оренбургский государственный университет, г. Оренбург

Резонансный безызлучательный перенос энергии от экситон-содержащих полупроводниковых квантовых ям и точек в органическую матрицу рассматривался в ряде работ [1-4]. Уже в этих работах было показано, что форма и кривизна поверхности нанотела существенно влияют на спектральные и транспортные характеристики генерируемых в нем экситонов. В данной работе рассмотрен процесс передачи энергии от экситонов полупроводниковой квантовой нити кругового сечения к матрице из органических молекул, окружающей нить и представляемой в виде сплошной однородной среды с резонансным поглощением энергии поля в области экситонного спектра.

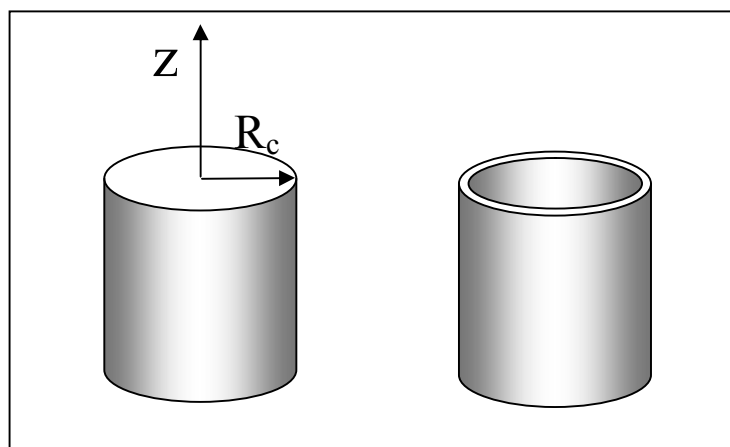


Рис. 1. Квантовые нити в виде цилиндра и полый цилиндрической оболочки.

Вектор поляризации  $\mathbf{P}(r, z)$  квантовой нити формируется одномерными экситонами Ванье-Мотта в условиях сильного радиального конфайнмента [1-4]

$$\mathbf{P}(r, z) = \frac{\mathbf{d}_{vc}}{\sqrt{a_B L R_c^2}} J_0^2(k_r r) \exp(ik_z z). \quad (1)$$

Здесь  $\mathbf{d}_{vc}$  - векторный матричный элемент межзонного электронного дипольного момента перехода;  $a_B$  - боровский радиус экситона;  $L$  и  $R_c$  - длина и радиус квантовой нити (рис.1);  $J_0(x)$  - функция Бесселя;  $k_r$  и  $k_z$  - волновые числа радиального движения электрона (дырки) в нити и осевого движения экситона, соответственно, причем значения  $k_r$  представляют собой корни уравнения  $J_0(k_r R_c) = 0$ . Для нижних значений энергии электрона и дырки используется минимальный по величине корень  $\min(k_r R_c) = 2,4048$ . Значение

волнового числа  $k_z$  для свободного движения экситона вдоль оси цилиндра, в случае термализованных частиц может быть оценено как  $k_z = \hbar^{-1} \sqrt{m_{exc} k_B T}$ . Будем считать, что квантовая нить окружена коаксиальной цилиндрической оболочкой – барьерным слоем – толщиной  $\Delta = R - R_c$ . Оболочка представляет собой полупроводниковый барьер, причем с диэлектрической проницаемостью  $\varepsilon_{in}$ , равной диэлектрической проницаемости квантовой нити. Влияние барьерного слоя на эффективность передачи энергии к диссипативному окружению очень велико, поскольку оболочка изолирует экситоны полупроводника от поглощающей среды, разводя соответствующие области на расстояние  $\Delta$ . Потенциал  $\Phi_{in}(r, z)$  аксиальносимметричного квазистатического поля в области  $r \leq R$  нити с окружающей ее оболочкой удовлетворяет уравнению Пуассона с объемной зарядовой плотностью  $\rho(r, z) = -\text{div} \mathbf{P}(r, z)$

$$\varepsilon_{in} \left[ \frac{1}{r} \frac{\partial}{\partial r} r \frac{\partial}{\partial r} + \frac{\partial^2}{\partial z^2} \right] \Phi_{in}(r, z) = 4\pi \text{div} \mathbf{P}(r, z), \quad (2)$$

Заметим, что внутри барьерного слоя  $R_c < r < R$  вектор поляризации  $\mathbf{P}(r, z)$  равен нулю  $\mathbf{P}(r, z) = 0$ .

В случае осесимметричной радиальной поляризации (в плоскости, перпендикулярной оси  $z$ ) для объемной плотности  $\rho(r, z)$  заряда получаем

$$\rho(r, z) = -\text{div} \mathbf{P}(r, z) = -\frac{d_{vc}}{\sqrt{a_B L R_c^2}} \exp(ik_z z) \frac{1}{r} \frac{\partial}{\partial r} r J_0^2(k_r r), \quad (3)$$

а в случае осевой поляризации ( $z$ -поляризации)

$$\rho(r, z) = -\text{div} \mathbf{P}(r, z) = -\frac{d}{dz} \mathbf{P}(r, z) = -\frac{d_{vc}}{\sqrt{a_B L R_c^2}} ik_z \exp(ik_z z) J_0^2(k_r r). \quad (4)$$

Потенциал  $\Phi_{out}(r, z)$  в поглощающей среде ( $r > R$ ) удовлетворяет уравнению Лапласа

$$\left[ \frac{1}{r} \frac{\partial}{\partial r} r \frac{\partial}{\partial r} + \frac{\partial^2}{\partial z^2} \right] \Phi_{out}(r, z) = 0. \quad (5)$$

Зависимость от координаты  $z$  потенциалов  $\Phi_{in}(r, z)$  и  $\Phi_{out}(r, z)$  одинакова и имеет вид

$$\Phi(r, z) = u(r) \exp(ik_z z). \quad (6)$$

Подставляя (6) в (2) и (5) получаем неоднородное и однородное уравнения Гельмгольца для функций  $u_{in}(r)$  и  $u_{out}(r)$ , соответственно. В случае z-поляризации, например, уравнение (2) в круге  $0 < r < R_c$  принимает вид

$$\left[ \frac{1}{r} \frac{\partial}{\partial r} r \frac{\partial}{\partial r} - k_z^2 \right] u_{in}(r) = \frac{4\pi}{\varepsilon_{in}} \frac{d_{vc}}{\sqrt{a_B L R_c^2}} i k_z J_0^2(k_r r). \quad (7)$$

Решения уравнений (2) и (5) могут быть получены методом функций Грина [5]. Так, осесимметричная функция Грина  $G_2^{(r < R)}(r; r')$  уравнения Гельмгольца внутренней задачи Неймана для круга имеет вид

$$G_2^{(r < R)}(r; r') = \frac{1}{2\pi} \left[ K_0(k_z r') - \frac{K'_0(k_z R)}{I'_0(k_z R)} I_0(k_z r') \right] I_0(k_z r), \quad (8)$$

где  $I_0(x), K_0(x)$  - модифицированные функции Бесселя.

Решение внутренней задачи Неймана в области  $0 < r < R$  для неоднородного уравнения Гельмгольца с неоднородным граничным условием

$$\nabla^2 u(r) - \kappa^2 u(r) = -F(r), \quad \left. \frac{\partial u}{\partial r} \right|_{r=R-0} = f(R) \quad (9)$$

может быть представлено с помощью функции Грина (8) в виде суммы двух интегралов [5], контурного – по окружности  $L$ , и двумерного – в круговой области  $S$ :

$$u(r) = \oint_L G_2^{(r < R)}(r; R) f(R) R d\varphi + \int_S G_2^{(r < R)}(r; r') F(r') r' dr' d\varphi. \quad (10)$$

В результате для функции  $u(r)$  внутри круга  $0 < r < R$  получаем

$$u(r) = f(R) \frac{I_0(\kappa r)}{\kappa I'_0(\kappa R)} + u_F(r), \quad (11)$$

где

$$u_F(r) = \left[ K_0(\kappa r) - \frac{K'_0(\kappa R)}{I'_0(\kappa R)} I_0(\kappa r) \right] \int_0^r F(r') I_0(\kappa r') r' dr' + \\ + I_0(\kappa r) \int_r^R F(r') \left[ K_0(\kappa r') - \frac{K'_0(\kappa R)}{I'_0(\kappa R)} I_0(\kappa r') \right] r' dr' \quad (12)$$

В случае внешней задачи Неймана *однородного* уравнения Гельмгольца для круга с неоднородным граничным условием

$$\nabla^2 u(r) - \kappa^2 u(r) = 0, \quad \left. \frac{\partial u}{\partial r} \right|_{r=R+0} = f(R), \quad r > R, \quad (13)$$

решение представляется в виде одного контурного интеграла

$$u(r) = \oint_L G_2^{(r>R)}(r; R) f(R) R d\varphi, \quad (14)$$

где осесимметричная функция Грина  $G_2^{(r>R)}(r; r')$  внешней задачи Неймана

$$G_2^{(r>R)}(r; r') = \frac{1}{2\pi} \left[ I_0(\kappa r') - \frac{I_0'(\kappa R)}{K_0'(\kappa R)} K_0(\kappa r') \right] K_0(\kappa r). \quad (15)$$

Выполняя интегрирование в (14) с функцией Грина (15) получаем решение внешней задачи Неймана для круга в виде

$$u(r) = f(R) \frac{I_0(\kappa r)}{\kappa I_0'(\kappa R)}. \quad (16)$$

*Условие сопряжения решений во внутренней и внешней областях*

В общем случае производные решения внутренней и внешней задачи на границе раздела областей не равны, а лишь пропорциональны друг другу. Тогда граничную функцию  $f(R)$  удобно ввести соотношением

$$\left. \frac{\partial u_{in}}{\partial r} \right|_{r=R-0} = \frac{\varepsilon_{out}}{\varepsilon_{in}} \left. \frac{\partial u_{out}}{\partial r} \right|_{r=R+0} = f(R). \quad (17)$$

В отличие от неоднородной по краевым условиям задачи Неймана функция  $f(R)$  неизвестна и должна определяться на основе дополнительного соотношения. В качестве такого дополнительного условия может быть выставлено требование равенства решений  $u_{in}(r)$  и  $u_{out}(r)$  для каждой из областей на их границе раздела

$$u_{in}(R) = u_{out}(R). \quad (18)$$

Подставляя (11) и (16) в (18) получаем

$$f(R) \frac{I_0(\kappa R)}{\kappa I_0'(\kappa R)} + u_F(R) = f(R) \frac{K_0(\kappa R)}{\kappa K_0'(\kappa R)} \frac{\varepsilon_{in}}{\varepsilon_{out}}. \quad (19)$$

Выражение (19) представляет собой уравнение для неизвестной величины  $f(R)$ . Его решение принимает вид

$$f(R) = u_F(R) \kappa \left[ \frac{K_0(\kappa R) \varepsilon_{in}}{K'_0(\kappa R) \varepsilon_{out}} - \frac{I_0(\kappa R)}{I'_0(\kappa R)} \right]^{-1}, \quad (20)$$

где функция  $u_F(R)$  имеет вид

$$u_F(R) = \left[ K_0(\kappa R) - \frac{K'_0(\kappa R)}{I'_0(\kappa R)} I_0(\kappa R) \right] \int_0^R F(r') I_0(\kappa r') r' dr'. \quad (21)$$

Таким образом, задача решена и при постановке условий сопряжения (17)-(18).

Итоговыми результатами решения задачи о потенциале электрического поля во внутренней и внешней областях являются выражения (11)-(12) и перемасштабированная с учетом (17) формула (16)

$$u_{out}(r) = f(R) \frac{K_0(\kappa r)}{\kappa K'_0(\kappa R)} \frac{\varepsilon_{in}}{\varepsilon_{out}}, \quad (22)$$

с функцией  $f(R)$ , определенной выражениями (20)-(21).

Выражение для потенциала  $\Phi_{out}(r, z)$  поля в поглощающей среде принимает вид

$$\Phi_{out}(r, z) = f(R) \frac{K_0(k_z r)}{k_z K'_0(k_z R)} \frac{\varepsilon_{in}}{\varepsilon_{out}} \exp(ik_z z), \quad (23)$$

где

$$f(R) = u_F(R) k_z \left[ \frac{K_0(k_z R) \varepsilon_{in}}{K'_0(k_z R) \varepsilon_{out}} - \frac{I_0(k_z R)}{I'_0(k_z R)} \right]^{-1}, \quad (24)$$

$$u_F(R) = \frac{4\pi}{\varepsilon_{in}} \left[ \frac{I_0(k_z R) K'_0(k_z R)}{I'_0(k_z R)} - K_0(k_z R) \right] \int_0^{R_c} I_0(k_z r) \operatorname{div} \mathbf{P}(r, z) \exp(-ik_z z) r dr,$$

$\varepsilon_{in}$ ,  $\varepsilon_{out}$  - диэлектрические проницаемости полупроводника и органического материала на частоте экситонного перехода, а интегрирование по радиальной переменной  $r$  производится только до границы  $R_c$ , поскольку при  $r > R_c$  вектор поляризации  $\mathbf{P}(r) \equiv 0$ . Полная мощность  $W$ , переносимая от квантовой нити в окружающую среду и диссипируемая в ней, определяется объемным интегралом [6] по внешней области

$$W = \frac{\omega L}{4} \operatorname{Im} \varepsilon_{out}(\omega) \int_{r>R} |\vec{\nabla} \Phi_{out}|^2 r dr. \quad (25)$$

Подставляя (23) в (25) для эффективной скорости  $U$  безызлучательного переноса энергии в органическую среду получаем выражение

$$U = W / \hbar \omega = \frac{LR^2}{8\hbar} \text{Im} \varepsilon_{out}(\omega) \left| f(R) \frac{\varepsilon_{in}(\omega)}{\varepsilon_{out}(\omega)} \right|^2 \left[ \frac{K_0(k_z R) K_2(k_z R)}{K_1^2(k_z R)} - 1 \right]. \quad (26)$$

В случае z-поляризации  $\text{div} \mathbf{P}(r, z) = ik_z \mathbf{P}(r, z)$ . Оценим интеграл (21) с помощью замены  $J_0^2(k_z r) = \eta J_0(k_z r)$ . Тогда

$$u_F(R) \sim ik_z \int_0^{R_c} J_0^2(k_r r) I_0(k_z r) r dr = ik_z \eta \int_0^{R_c} J_0(k_r r) I_0(k_z r) r dr,$$

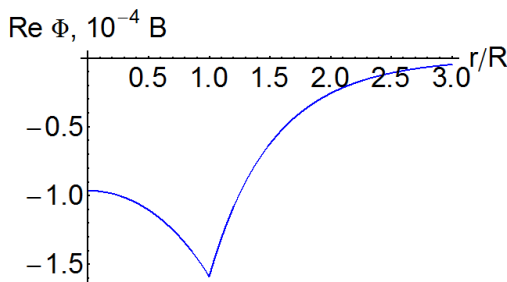
где  $\eta \leq 1$ . В качестве заключительной оценки получаем [7]

$$u_F(R) \sim k_z \eta \int_0^{R_c} J_0(k_r r) I_0(k_z r) r dr = \eta \frac{k_z k_r R_c}{k_r^2 + k_z^2} J_1(k_r R_c) I_0(k_z R_c).$$

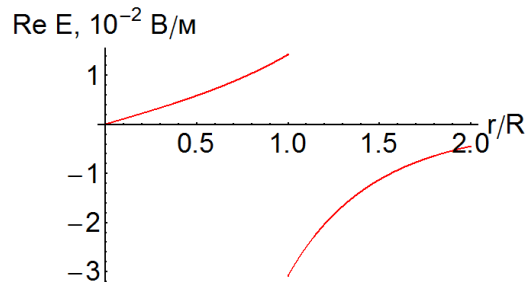
В окончательном виде, принимая  $d_{vc} \approx 0,1ea_B$  [4]

$$u_F(R) = \frac{4\pi}{\varepsilon_{in}} \left[ \frac{I_0(k_z R) K'_0(k_z R)}{I'_0(k_z R) K_0(k_z R)} - 1 \right] K_0(k_z R) J_1(k_r R_c) I_0(k_z R_c) \frac{0,1ea_B}{\sqrt{a_B LR_c}} \frac{i\eta k_z k_r}{k_r^2 + k_z^2}.$$

На рис. 2-3 представлены результаты расчетов радиальных зависимостей реальных частей потенциала  $\text{Re} \Phi(r)$  и напряженности электрического поля  $\text{Re} E(r)$  для внутренней области квантовой нити и внешней части пространства, занятой органической средой, в случае барьерного слоя нулевой толщины, т.е. при  $R = R_c$  [8].



**Рис. 2.** Радиальная зависимость реальной части потенциала  $\text{Re} \Phi(r)$  в случае z-поляризации.

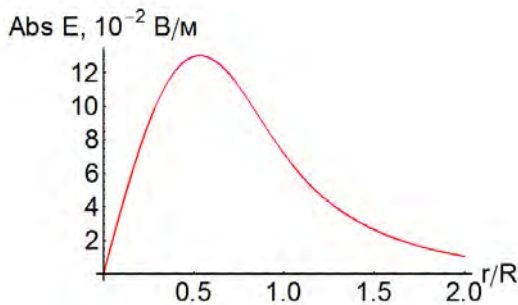


**Рис. 3.** Радиальная зависимость реальной части напряженности  $\text{Re} E(r)$  поля в случае z-поляризации.

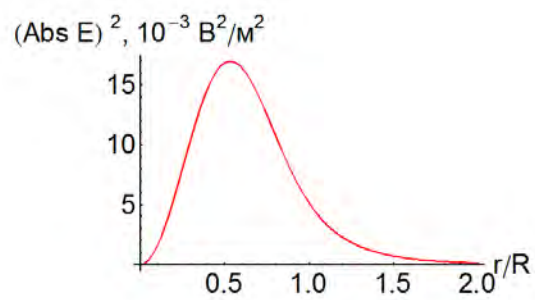
На рис. 4-5 представлены результаты расчетов радиальных зависимостей модуля напряженности  $|E(r)|$  электрического поля и квадрата  $|E(r)|^2$  его модуля для внутренней и внешней области. Именно последняя величина, как это следует из (25), определяет диссипацию энергии поля в органической среде, т.е. при  $r > R$ . Оценочный расчет величины времени  $\tau = 1/U$  переноса

энергии, выполненный на основе (26), при значениях параметров  $d_{vc} \approx 0,1ea_B$  [4],  $\varepsilon_{in}=5$ ,  $\varepsilon_{out}=4+3i$ , при  $R = 5$  нм дает величину  $\tau = 16$  пс, что меньше времени жизни экситона в квантовой проволоке (для полупроводников II-VI типа это время  $\tau_{exc}$  составляет несколько наносекунд). Таким образом, как и в случае квантовых точек [4], рассмотренный механизм переноса энергии является достаточно эффективным для того, чтобы передать значительную часть энергии от полупроводниковой квантовой нити к окружающей ее органической матрице.

В случае барьерного слоя ненулевой толщины, значения скорости  $U$  переноса, как это можно увидеть из (24) и (26), будет ниже вышеприведенной оценки.



**Рис. 4.** Радиальная зависимость модуля напряженности  $|E(r)|$  электрического поля в случае z-поляризации.



**Рис. 5.** Радиальная зависимость квадрата модуля напряженности  $|E(r)|^2$  электрического поля в случае z-поляризации.

#### *Полупроводниковая цилиндрическая оболочка*

Как и в случае цилиндра, для расчета вектора поляризации  $\mathbf{P}(r, z)$  в цилиндрическом слое  $R_1 < r < R_2$ , вначале решаем квантовомеханическую задачу для электрона и дырки в осесимметричной прямоугольной потенциальной яме с бесконечно высокими стенками. На границе слоя волновые функции  $\psi_e(R_{1(2)})$  электрона и  $\psi_h(R_{1(2)})$  дырки обращаются в нуль

$$\psi_e(R_1) = \psi_h(R_1) = 0, \quad \psi_e(R_2) = \psi_h(R_2) = 0. \quad (27)$$

Решая уравнение Шредингера для электрона (дырки) в цилиндрическом слое  $R_1 < r < R_2$ ,  $-\infty < z < \infty$  для осесимметричного случая получаем

$$\mathbf{P}(r, z) = \frac{\mathbf{d}_{vc}}{\sqrt{a_B L (R_2^2 - R_1^2)}} \psi_e(r) \psi_h(r) \exp(ik_z z). \quad (28)$$

где

$$\begin{aligned} \psi_e(r) = \psi_h(r) &= J_0(k_r r) N_0(k_r R_1) - J_0(k_r R_1) N_0(k_r r) \equiv \\ &\equiv \frac{J_0(k_r R_1)}{J_0(k_r R_2)} [J_0(k_r r) N_0(k_r R_2) - J_0(k_r R_2) N_0(k_r r)] \end{aligned}$$

а  $k_r$  является наименьшим корнем уравнения ( $N_0(x)$  - функция Неймана)

$$J_0(k_r R_1)N_0(k_r R_2) - J_0(k_r R_2)N_0(k_r R_1) = 0. \quad (29)$$

Нормы собственных функций  $\psi_e(r)$  и  $\psi_h(r)$  определены равенством

$$\|\psi_{e(h)}\|^2 = \int_S \psi_{e(h)}^2(r) d^2r = \frac{2}{\pi^2 k_r^2} \left[ \frac{J_0^2(k_r R_1)}{J_0^2(k_r R_2)} - 1 \right].$$

Далее решаем уравнение Пуассона для потенциала  $\Phi_{in}(r, z) = \Phi_2(r, z)$  в слое  $R_1 < r < R_2$  с зарядовой плотностью  $\rho(r, z) = -\text{div } \mathbf{P}(r, z)$ , и уравнения Лапласа для потенциалов поля  $\Phi_1(r, z)$  и  $\Phi_3(r, z)$  в приосевой  $r < R_1$  и наружной  $R_2 < r$  областях. Для нахождения поля в слое необходимо построить функцию Грина в соответствующей области  $R_1 < r < R_2$ . Кроме того, необходимо «обложить» этот слой барьерными слоями (BL), радиусами  $R_1 - \Delta$  и  $R_2 + \Delta$ . Включение в систему внутреннего барьерного слоя (BL1) дает возможность изоляции полупроводниковой оболочки от центральной металлической жилы [9], выполняющей функцию плазмонного резонатора электромагнитного поля, создаваемого экситонами полупроводникового цилиндрического слоя. Внешний барьерный слой (BL2) отделяет полупроводниковую оболочку от окружающей нить органической среды, в которой происходит диссипация энергии поля (безызлучательные потери).

В случае кольца  $R_1 < r < R_2$  собственные значения  $\{\lambda_{0m}\}$  второй краевой задачи являются корнями следующего трансцендентного уравнения

$$J'_0(\sqrt{\lambda_{0m}} R_1)N'_0(\sqrt{\lambda_{0m}} R_2) - J'_0(\sqrt{\lambda_{0m}} R_2)N'_0(\sqrt{\lambda_{0m}} R_1) = 0.$$

Этим собственным значениям отвечают собственные функции

$$w_{0m}(r) = J_0(r\sqrt{\lambda_{0m}})N_0(R_1\sqrt{\lambda_{0m}}) - J_0(R_1\sqrt{\lambda_{0m}})N_0(r\sqrt{\lambda_{0m}}). \quad (30)$$

квадрат нормы собственной функции  $w_{0m}(r)$  (30) определен равенствами

$$\|w_{0m}\|^2 = \int_S w_{0m}^2(r) d^2r = \frac{4}{\pi \lambda_{0m}} \left\{ \left[ \frac{J'_0(R_1\sqrt{\lambda_{0m}})}{J'_0(R_2\sqrt{\lambda_{0m}})} \right]^2 - 1 \right\}, \quad \|w_{00}\|^2 = \pi(R_2^2 - R_1^2).$$

В общем случае, когда параметр  $\kappa$  оператора Гельмгольца не совпадает ни с одним из собственных значений из набора  $\{\lambda_{0m}\}$ , функция Грина задачи Неймана представляется рядом по собственным функциям  $w_{0m}(r)$  однородной второй краевой задачи

$$G(r, r') = -\frac{1}{\kappa^2 S} - \sum_{n=1}^{\infty} \frac{w_{0n}(r)w_{0n}(r')}{\|w_{0n}\|^2 (|\lambda_{0n}| + \kappa^2)}, \quad (31)$$

где  $S$  – площадь рассматриваемой двумерной области. Для наглядности в (31) выделено слагаемое, соответствующее нулевому собственному значению  $\lambda_{00} = 0$  ( $w_{00} = \text{const}$ ).

Работа поддержана Минобрнауки РФ (Госзадание Министерства. Проект № 1.3.06).

#### Список литературы

1. *Agranovich V.M., La Rocca G.C., Bassani F. JETP Lett. 66, 748, (1997).*
2. *Rocca G.C. La, Bassani F., Agranovich V.M. Europ. Phys. J. (1999)*
3. *Bassani F., La Rocca G.C., Basko D.M., Agranovich V.M. Physics of the Solid State. 41, 5, p. 701. (1999)*
4. *Агранович В.М., Баско Д.М. Резонансный перенос энергии от полупроводниковой квантовой точки к органической матрице // Письма в ЖЭТФ. 1999. -Т. 69. –Вып. 3. – С. 232-235.*
5. *Боголюбов А.Н., Кравцов В.В. Задачи по математической физике: Учеб. пособие.— М.: Изд-во МГУ. 1998. - 350с.*
6. *Ландау Л.Д., Лифшиц. Е.М. Электродинамика сплошных сред. Т. VIII. М.: ФИЗМАТЛИТ. 2003. – 656 с.*
7. *Абрамовиц М., Стиган И. Справочник по специальным функциям с формулами, графиками и таблицами. М.: Наука. 1979. – 832 с.*
8. *Строкова Ю.А., Кучеренко М.Г. Перенос энергии экситон-активированной квантовой нити в окружающую органическую среду // Сборник трудов Международной конференции и семинаров. «Оптика-2013» Санкт-Петербург. 14-18 октября 2013 / Под ред. проф. В.Г. Беспалова, проф. С.А. Козлова.– СПб: НИУИТМО, 2013. – Т.1. 389 с.*
9. *Jie-Yun Yan. Strong exciton-plasmon interaction in semiconductor-insulator-metal nanowires // Phys. Review B. 86. 075438. P. 1-7. (2012)*